

УДК 532.58

ГЛИССИРОВАНИЕ КИЛЕВАТОЙ ПЛАСТИНЫ ПО ВОЛНЕ

Л. Д. Коврижных, А. И. Тихонов

Приведены результаты теоретического и экспериментального исследования глиссирования плоскокилевой пластины по регулярной волне. Выражения нестационарных гидродинамических сил и моментов берутся в нелинейном виде на основе метода плоских поперечных сечений с учетом волновых скоростей и ускорений жидких частиц. Получена система нелинейных дифференциальных уравнений движения пластины с двумя степенями свободы, решение которой проводится численным методом. Установлены особенности колебательных характеристик глиссирующей пластины в зависимости от скорости движения, параметров волны и характеристик устойчивости глиссирования. Дается сравнение расчетных и экспериментальных данных по гидродинамическим силам и моментам и колебательным характеристикам пластины.

В процессе развития гидроавиации было проведено большое количество экспериментальных модельных исследований мореходности проектируемых гидросамолетов.

В 1950—60 гг. в ЦАГИ А. И. Тихоновым были выполнены систематические экспериментальные исследования колебательных характеристик моделей гидросамолетов, определяющих основные закономерности их движения по регулярному волнению. С помощью разработанного метода плоских поперечных сечений для определения гидродинамических сил при стационарном и нестационарном глиссировании килеватых пластин [1, 2] А. И. Тихоновым были проведены расчеты колебательных характеристик гидросамолетов путем численного решения дифференциальных уравнений их движения на регулярной волне (с учетом аэродинамики). Недостаточная сходимость результатов расчета и эксперимента на относительно больших волнах потребовала более глубокого исследования схематизированных глиссирующих тел — плоскокилеватых пластин.

В работе [3] дан расчет гидродинамической подъемной силы килевой пластины при движении сквозь гармоническую волну с фиксированным углом дифферента, осадкой и горизонтальной скоростью.

В работе [4] рассмотрено движение плоскокилевой пластины по регулярному волнению в линейном приближении — в ней результаты расчета и эксперимента значительно расходятся. В настоящей работе рассматривается глиссирование с двумя степенями свободы плоскокилевой пластины по прогрессивной волне с уточненным выражением гидродинамических сил с учетом орбитальных скоростей частиц жидкости; дается численное решение

нелинейных дифференциальных уравнений движения. Проводится сравнение расчетных и экспериментальных данных.

1. Рассмотрим движение плоскокилеватой пластины перпендикулярно фронту прогрессивных волн. Предполагаем, что пластина имеет две степени свободы — по углу дифферента и вертикальному перемещению, крен, боковое движение и разворот относительно вертикальной оси отсутствуют. Считаем горизонтальную скорость V центра масс (ЦМ) пластины постоянной. Движение пластины в продольной плоскости будем рассматривать относительно неподвижной правой системы координат; ось Ox лежит на невозмущенном уровне воды и направлена по V , ось Oy направлена вертикально вверх (рис. 1). Движение пластины рассматриваем как поступательное движение центра масс и вращение пластины относительно него.

Дифференциальные уравнения движения пластины по волне запишем в следующем виде:

$$\begin{aligned} m\ddot{y}_c &= Y - mg, \\ I\ddot{\varphi} &= M \end{aligned} \quad (1)$$

Здесь m , M — масса пластины и ее момент инерции относительно поперечной оси, проходящей через ЦМ; Y и M — гидродинамические, подъемная сила и дифферентующий момент; g — ускорение свободного падения; φ — угол дифферента пластины; x_c , y_c — координаты ЦМ пластины. Точки над буквами обозначают дифференцирование по времени t . В дальнейшем будем считать угол $\varphi \ll 1$, так что $\sin \varphi \approx \varphi$, $\cos \varphi \approx 1$.

Для определения гидродинамических сил и моментов, действующих на колеблющуюся плоскокилеватую пластину, применим метод плоских поперечных сечений. Считаем, что каждое поперечное сечение смоченной поверхности пластины обтекается нормальным к килю потоком, относительные скорости которого включают вертикальные волновые скорости частиц жидкости. Предполагаем, что глиссирование пластины происходит на больших числах

$Fr_\Delta = \frac{V}{\sqrt{g^3 m / \rho}} \geq 4$, когда доминирующими являются силы динамического происхождения. В рассмотрение включаются режимы частичного или полного выбрасывания пластины из воды от ударного воздействия на нее волн.

Нестационарные гидродинамические подъемную силу и продольный момент будем определять как сумму сил (моментов) согласно гипотезе стационарности и сил (моментов) инерционной природы [1]. Рассмотрим случай глиссирования без смачивания и со смачиванием скул.

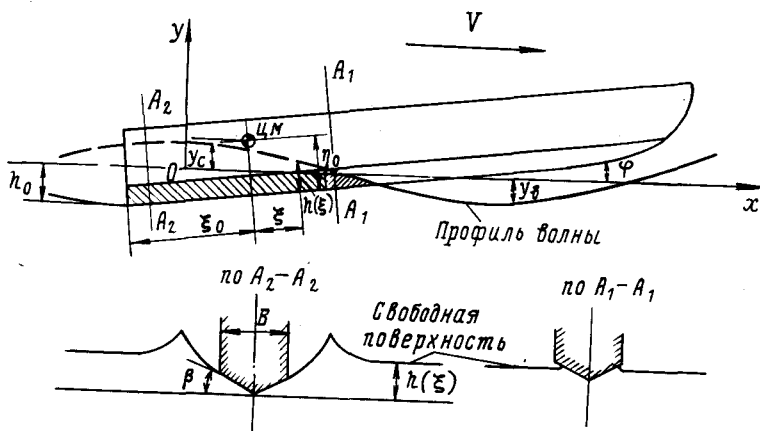


Рис. 1

При глиссировании без смачивания скул элементарная мгновенная сила, действующая нормально к килю в сечении ξ на элементарный клин длиной $d\xi$, будет равна

$$f(\xi) d\xi = \rho k(\beta) \left[2h(\xi) V_n^2(\xi) - (2 - \cos \beta) h^2(\xi) \frac{dV_n(\xi)}{dt} \right] d\xi, \quad (2)$$

где ρ — плотность воды; β — угол поперечной килеватости пластины; $k(\beta) = \frac{\pi}{2} \left(\frac{\pi}{2\beta} - 1 \right)^2$ — известный коэффициент Вагнера; $(2 - \cos \beta)$ — множи-

тель, предложенный Г. В. Логвиновичем для учета эффекта брызговых струй; $h(\xi)$, $V_n(\xi)$ — погружение и нормальная относительная скорость киля; ξ — координата, отсчитываемая вдоль киля от ЦМ (см. рис. 1). Очевидно,

$$\left. \begin{aligned} h(\xi) &= \eta_0 - y_c - \xi\varphi + y_b(\xi), \\ V_n(\xi) &= -V\varphi + \dot{y}_c + \xi\dot{\varphi} - \dot{y}_b(\xi), \\ \frac{dV_n(\xi)}{dt} &= -2V\dot{\varphi} + \ddot{y}_c + \xi\ddot{\varphi} - \ddot{y}_b(\xi), \end{aligned} \right\} \quad (3)$$

где $y_b(\xi)$ — ордината волновой поверхности в сечении ξ ; ξ_0 , η_0 — расстояния от ЦМ соответственно до транца и киля пластины.

Уравнение прогрессивной волны, распространяющейся навстречу движущейся пластины, запишем в виде

$$y_b(x) = \frac{h_b}{2} \cos k(x + ct),$$

где h_b , λ_b — высота и длина волны; $k = \frac{2\pi}{\lambda_b}$ — волновое число; $c = \sqrt{\frac{g\lambda_b}{2\pi}}$ — скорость распространения волны, причем $x = x_c + \xi$. Выберем при $t=0$, $x_c=0$, тогда при $t>0$ $x_c = Vt$.

При выводе формул (2) и (3) мы пренебрегли горизонтальной волновой скоростью по сравнению со скоростью глиссирования V .

Вертикальные волновые скорости $\dot{y}_b(\xi)$ и ускорения $\ddot{y}_b(\xi)$ на смоченной поверхности пластины приняты приближенно равными их значениям на свободной поверхности, т. е.

$$\dot{y}_b(\xi) = -\frac{\pi h_b c}{\lambda_b} \sin k[(V+c)t + \xi],$$

$$\ddot{y}_b(\xi) = -\frac{\pi g h_b}{\lambda_b} \cos k[(V+c)t + \xi].$$

Суммируя элементарные силы (2), распределенные по смоченной поверхности пластины, получим гидродинамическую подъемную силу, действующую на пластину в момент времени t :

$$Y_{гд} = \rho k(\beta) \kappa_y \int_{-\xi_0}^{\xi_b} f(\xi) d\xi, \quad (4)$$

где ξ_b — координата точки пересечения килевой линии пластины с волновым профилем. Аналогично суммируя элементарные моменты, получим гидродинамический момент относительно центра масс пластины:

$$M_{гд} = \rho k(\beta) \kappa_m \int_{-\xi_0}^{\xi_b} \xi f(\xi) d\xi. \quad (5)$$

В выражениях (4) и (5) коэффициенты

$$\kappa_y = 1 - \frac{\pi\varphi}{4\operatorname{tg}\beta}, \quad \kappa_M = \kappa_y \left[1 + \frac{1}{1 + \sqrt{1 + \left(\frac{2\operatorname{tg}\beta}{\pi\varphi} \right)^2}} \right]$$

учитывают продольное перетекание и выравнивание давления к транцу.

Кроме сил (момента) динамического характера, на пластину будет действовать сила (момент) квазистатического происхождения, обусловленная воздействием внешнего поля давления волнового движения частиц жидкости. Это давление выражается через линеаризированный интеграл Лагранжа:

$$p - p_0 = -\rho g y - \rho \frac{\partial \Phi_s}{\partial t},$$

где p_0 — атмосферное давление, $\Phi_s = -\frac{h_s}{2} c e^{ky} \sin k(x + ct)$ — потенциал скорости прогрессивной волны. Полагая, как прежде, $e^{ky} \approx 1$ и учитывая, что $\left(\frac{\partial \Phi_s}{\partial t} \right)_{y=0} = g y_s$, получим на килевой линии

$$p - p_0 = \rho g [\eta_0 - y_c - \xi\varphi + y_s(\xi)] = \rho g h(\xi).$$

Элементарная квазистатическая сила в сечении ξ будет

$$\Delta Y_{rc} = \rho g \operatorname{ctg} \beta h^2(\xi) d\xi.$$

Суммируя эти силы, получим квазистатическую силу:

$$Y_{rc} = \rho g \operatorname{ctg} \beta \int_{-\xi_0}^{\xi_s} h^2(\xi) d\xi. \quad (6)$$

Квазистатический момент относительно ЦМ запишем в виде

$$M_{rc} = \rho g \operatorname{ctg} \beta \int_{-\xi_0}^{\xi_s} \xi h^2(\xi) d\xi. \quad (7)$$

На пластину будет действовать момент трения. Считая, что равнодействующая сил трения проходит через центр проекции смоченной поверхности на диаметрально плоскость пластины параллельно килевой линии, получим

$$M_{тр} = -\rho \frac{\pi}{2} \frac{c_f}{\sin \beta} V^2 \int_{-\xi_0}^{\xi_s} \left[\eta_0 - \frac{\pi}{4} h(\xi) \right] h(\xi) d\xi, \quad (8)$$

где c_f — коэффициент трения воды. Суммируя (4) — (8), получим полные гидродинамические подъемную силу и момент

$$\left. \begin{aligned} Y &= Y_{гд} + Y_{rc}, \\ M &= M_{гд} + M_{rc} + M_{тр}. \end{aligned} \right\}$$

При глиссировании плоскокилевой пластины шириной $B = 2b$ со смачиванием скул передняя часть глиссирует без смачивания скул, остальная часть глиссирует с погруженными скулами.

Гидродинамическая подъемная сила, действующая на переднюю часть, когда $h(\xi) \leq \frac{2}{\pi} b \operatorname{tg} \beta$, будет равна:

$$Y_{\Delta} = \rho k(\beta) \int_{l_{\text{ск}} - \xi_0}^{\xi_n} \left[2h(\xi) V_n^2(\xi) - (2 - \cos \beta) h^2(\xi) \frac{dV_n(\xi)}{dt} \right] d\xi, \quad (9)$$

где $l_{\text{ск}} = l_k - l_{\Delta}$ — смоченная длина по скуле: l_k — смоченная длина по килю; $l_{\Delta} = \frac{2}{\pi} \frac{b \operatorname{tg} \beta}{\varphi}$ — смоченная длина области с несмоченными скулами.

Гидродинамический момент относительно ЦМ, действующий на переднюю часть пластины,

$$M_{\Delta} = \rho k(\beta) \int_{l_{\text{ск}} - \xi_0}^{\xi_n} \xi \left[2h(\xi) V_n^2(\xi) - (2 - \cos \beta) h^2(\xi) \frac{dV_n(\xi)}{dt} \right] d\xi. \quad (10)$$

Элементарная подъемная сила, действующая на часть пластины со смоченными скулами, равна сумме элементарной силы по гипотезе стационарности $f_0(\xi) d\xi$ и элементарной инерционной силы $f_{0i}(\xi) d\xi$, причем

$$f_0(\xi) = \rho B(\beta) H(\lambda) b V_n^2(\xi),$$

$$f_{0i}(\xi) = -\rho \frac{4}{\pi^2} k(\beta) b^2 \operatorname{tg}^2 \beta (2 - \cos \beta) \frac{dV_n(\xi)}{dt},$$

где $B(\beta)$ — функция Бобылева; $H(\lambda) = 1 + \frac{0,42}{\sqrt{\lambda}}$ — переходная функция Г. В. Логвиновича [2]; $\lambda = \frac{h(\xi)}{b} - \frac{2 \operatorname{tg} \beta}{\pi}$.

Отсюда находим гидродинамическую силу и момент, действующие на заднюю часть пластины:

$$\left. \begin{aligned} Y_0 &= \int_{-\xi_0}^{l_{\text{ск}} - \xi_0} [f_0(\xi) + f_{0i}(\xi)] d\xi, \\ &\dots \dots \dots \\ M_0 &= \int_{-\xi_0}^{l_{\text{ск}} - \xi_0} \xi [f_0(\xi) + f_{0i}(\xi)] d\xi. \end{aligned} \right\} \quad (11)$$

Квазистатическую силу определим, как и выше, через вес объема жидкости, вытесненной пластиной под волновой поверхностью:

$$Y_{\text{гс}} = \rho g \left\{ \operatorname{ctg} \beta \int_{l_{\text{ск}} - \xi_0}^{\xi_n} h^2(\xi) d\xi + 2b \int_{-\xi_0}^{l_{\text{ск}} - \xi_0} \left[h(\xi) - \frac{b}{2} \operatorname{tg} \beta \right] d\xi \right\}, \quad (12)$$

где $l_{\text{ск}} = l_k - \frac{b \operatorname{tg} \beta}{\varphi}$.

Квазистатический момент будет равен:

$$M_{\text{гс}} = \rho g \left\{ \operatorname{ctg} \beta \int_{l_{\text{ск}} - \xi_0}^{\xi_n} \xi h^2(\xi) d\xi + 2b \int_{-\xi_0}^{l_{\text{ск}} - \xi_0} \xi \left[h(\xi) - \frac{b}{2} \operatorname{tg} \beta \right] d\xi \right\}. \quad (13)$$

Момент трения относительно ЦМ запишем в виде:

$$M_{\text{тр}} = -\rho c_f V^2 \left\{ \frac{\pi}{2 \sin \beta} \int_{l_{\text{сн}} - \xi_0}^{\xi_b} \left[\eta_0 - \frac{\pi}{4} h(\xi) \right] h(\xi) d\xi + \left(\eta_0 - \frac{b \operatorname{tg} \beta}{2} \right) \frac{b}{\cos \beta} l_{\text{сн}} \right\}. \quad (14)$$

Суммируя (9)–(14), получим полные гидродинамические подъемную силу и момент

$$\left. \begin{aligned} Y &= Y_{\Delta} + Y_0 + Y_{\text{гс}}, \\ M &= M_{\Delta} + M_0 + M_{\text{гс}} + M_{\text{тр}}. \end{aligned} \right\} \quad (15)$$

2. Расчеты гидродинамических сил и моментов по формулам (9)–(11) применительно к плоскокилевой пластине с углом $\beta = 30^\circ$, шириной $2b = 0,3$ м при различных скоростях V , углах φ , глубинах погружения под невозмущенным уровнем воды h_0 , параметрах волны h_b , λ_b были сопоставлены с экспериментом В. П. Соколянского, проведенным в опытовом бассейне ЦАГИ на модели жестко ориентированной в пространстве. На рис. 2 приведен

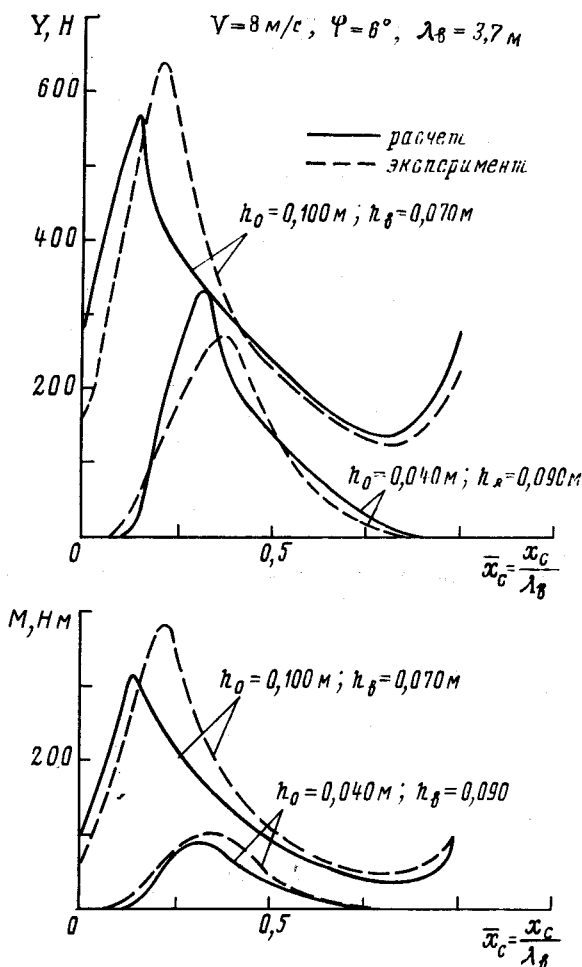


Рис. 2

один из примеров сравнения результатов расчета и эксперимента. Расчет и эксперимент имеют удовлетворительное согласование.

3. Подставляя в систему дифференциальных уравнений (1) выражения силы Y и момента M и производя перегруппировку членов, приходим к системе обыкновенных нелинейных уравнений второго порядка с двумя неизвестными:

$$\left. \begin{aligned} a_1(y_c, \varphi) \ddot{y}_c + a_2(y_c, \varphi) \ddot{\varphi} &= a_3(y_c, \varphi, \dot{y}_c, \dot{\varphi}), \\ b_1(y_c, \varphi) \ddot{y}_c + b_2(y_c, \varphi) \ddot{\varphi} &= b_3(y_c, \varphi, \dot{y}_c, \dot{\varphi}). \end{aligned} \right\} \quad (16)$$

Функции $a_i b_i$ ($i = 1, 2, 3$) для случая глссирования на неполной ширине имеют следующий вид:

$$\begin{aligned} a_1 &= m + \rho k(\beta) x_y \int_{-\xi_0}^{\xi_b} h^2(\xi) d\xi, \quad a_2 = \rho k(\beta) x_y \int_{-\xi_0}^{\xi_b} \xi h^2(\xi) d\xi, \\ a_3 &= -mg + \rho k(\beta) x_y \int_{-\xi_0}^{\xi_b} \left[2h(\xi) V_n^2(\xi) - h^2(\xi) \frac{dV_{n1}(\xi)}{dt} \right] d\xi + \rho g \operatorname{ctg} \beta \int_{-\xi_0}^{\xi_b} h^2(\xi) d\xi, \\ b_1 &= \rho k(\beta) x_M \int_{-\xi_0}^{\xi_b} \xi h^2(\xi) d\xi, \\ b_2 &= J + \rho k(\beta) x_M \int_{-\xi_0}^{\xi_b} \xi^2 h^2(\xi) d\xi, \quad b_3 = qk(\beta) x_M \int_{-\xi_0}^{\xi_b} \xi \left[2h(\xi) V_n^2(\xi) - \right. \\ &\quad \left. - h^2(\xi) \frac{dV_{n1}(\xi)}{dt} \right] d\xi + \rho g \operatorname{ctg} \beta \int_{-\xi_0}^{\xi_b} \xi h^2(\xi) d\xi - \rho \frac{\pi}{2} \frac{c_f}{\sin \beta} V^2 \int_{-\xi_0}^{\xi_b} \times \\ &\quad \times \left[\eta_0 - \frac{\pi}{4} h(\xi) \right] h(\xi) d\xi, \end{aligned}$$

причем, $\frac{dV_{n1}(\xi)}{dt} = -2V\dot{\varphi} - \eta_0 \dot{\varphi}^2 - y_b(\xi)$.

При вычислении $a_i b_i$ выполняются условия: если $h(\xi) \leq 0$ или $V_n(\xi) \geq 0$, то $f(\xi) = 0$. Для случая глссирования на полной ширине функции a_i, b_i имеют аналогичный вид.

4. В опытовом бассейне ЦАГИ были проведены буксировочные испытания плоскокилевой пластины на режимах без смачивания скул по регулярным волнам и по спокойной воде. Параметры модели: угол $\beta = 30^\circ$, ширина на транце $2b = 0,9$ м, длина $L = 2$ м, центровка $\xi_0 = 0,45$ м, $\eta_0 = 0,155$ м, масса $m = 35$ кг, момент инерции относительно ЦМ $J = 13,2$ кгм². Модель имела две степени свободы — по φ и y .

Расчет колебательных характеристик и характеристик устойчивости глссирования проводился по формулам (16) методом Рунге — Кутта применительно к указанной модели.

На рис. 3 показаны расчетные границы устойчивости из работы [5] и экспериментальные точки (белые — устойчивый режим, черные — неустойчивый, $mg = 350$ Н). Между расчетом и опытом достаточное согласование.

Расчет колебательных характеристик проводился при движении пластины по волнам различных h_b и λ_b при начальных условиях, близких к балансировочным режимам движения по спокойной воде, так что после затухания собственных колебаний устанавливался режим вынужденных колебаний.

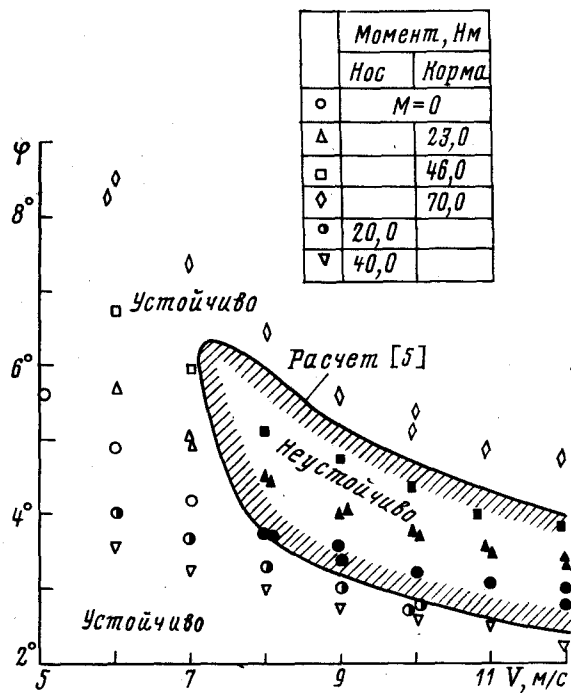


Рис. 3

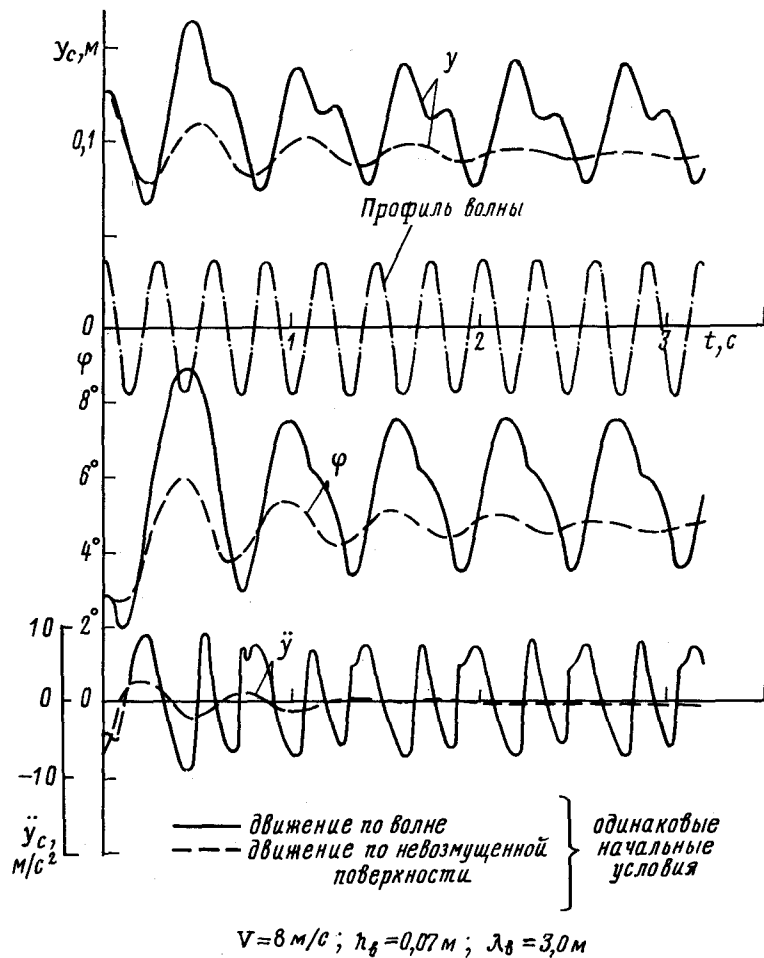


Рис. 4

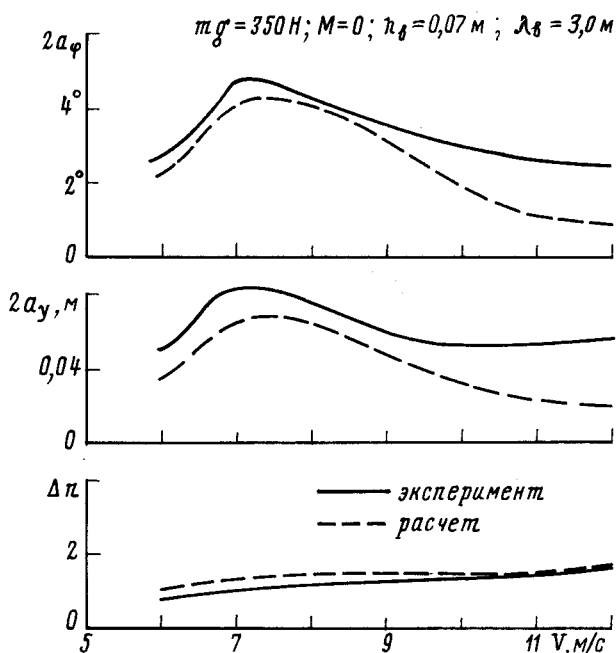


Рис. 5

На рис. 4 приведены для примера результаты одного расчета. Как видно, вынужденные колебания пластины представляют из себя двухкомпонентные кривые, гармоническая составляющая которых имеет частоту, равную частоте встречи с каждой волной, а субгармоническая составляющая — частоту, равную частоте встречи с каждой второй волной. Как правило, доминантными являются субгармонические колебания. На резонансных режимах, когда частота встречи пластины с волной $\nu_b = \frac{V+c}{\lambda_b}$ близка к удвоенной частоте

собственных колебаний, колебания пластины происходят с субгармонической частотой $\nu = \nu_b/2$. На рис. 4 зависимости y_c , φ , \ddot{y}_c от времени t даны для движения пластины по волне и по спокойной воде. Изменения y_c и φ по t находятся в одной фазе, изменения y_c и \ddot{y}_c — в противофазе к ним. Затухание собственных колебаний пластины при движении по спокойной воде и волне становится слабее при приближении к границе устойчивости глиссирования.

На рис. 5 приведены расчетные и экспериментальные зависимости от скорости V размахов вертикальных колебаний ЦМ $2a_y$, размахов угловых колебаний $2a_\varphi$ и избыточных перегрузок в ЦМ $\Delta\pi$ при движении модели по волне $h_b = 0,07 \text{ м}$ и $\lambda_b = 3,0 \text{ м}$ с нагрузкой на воду $mg = 350 \text{ Н}$. Результаты расчета и эксперимента удовлетворительно согласуются.

Таким образом, предложенный метод расчета гидродинамических и колебательных характеристик плоскокилеватой пластины, глиссирующей по регулярной волне, обеспечивает достаточно удовлетворительное согласование результатов расчета и эксперимента, позволяет выполнять подробный анализ динамики движения по волне, зависимостей амплитуд и частот колебаний килевой пластины от ее массы, момента инерции, центровки, высоты и длины волны, скоростей глиссирования.

ЛИТЕРАТУРА

1. Тихонов А. И. Гидродинамические силы, действующие на плоскокилеватые пластины при неустановившемся глиссировании. — Сборник работ по гидродинамике, 1959.
2. Логвинович Г. В. Погружение тел в жидкость и нестационарное глиссирование. — Труды ЦАГИ, 1960, вып. 807.
3. Соколов В. А. О гидродинамической подъемной силе плоскокилеватых тел при движении с большими скоростями по волне. — Сборник работ по гидродинамике, ЦАГИ, 1959.
4. Martin M. Theoretical prediction of motions of high — speed planing boats in waves. — Journal of Ship Research, 1978, vol. 22, N 3.
5. Коврижных Л. Д. Устойчивость глиссирования плоскокилевой пластины на неполной ширине. — Труды ЦАГИ, 1978, вып. 1972.

Рукопись поступила 18/VI 1987 г.